УДК 541.67

## ФИЗИЧЕСКАЯ ХИМИЯ

## Н. Г. МАКСИМОВ, В. Ф. АНУФРИЕНКО, К. Г. ИОНЕ

## ИЗУЧЕНИЕ МЕТОДОМ Э. П. Р. ВЗАИМОДЕЙСТВИЯ ИОНОВ Cu<sup>2+</sup> С АММИАКОМ В CuY-ПЕОЛИТАХ

(Представлено академиком М. М. Дубининым 19 II 1973)

Представляется интересным детально исследовать состояние катионов переходных металлов в цеолитном каркасе с помощью изучения характера их взаимодействия с молекулами различной координирующей силы.

В данной работе медь вводилась в цеолит Na Y ионным обменом из раствора тетрааммиаката меди (1, 2). Концентрация ее менялась в пределах 0,2—9%, что соответствует степени ионного обмена 2—100%. Адсорбция аммиака производилась при температурах 25, 100, 200, 400° С. Цеолиты

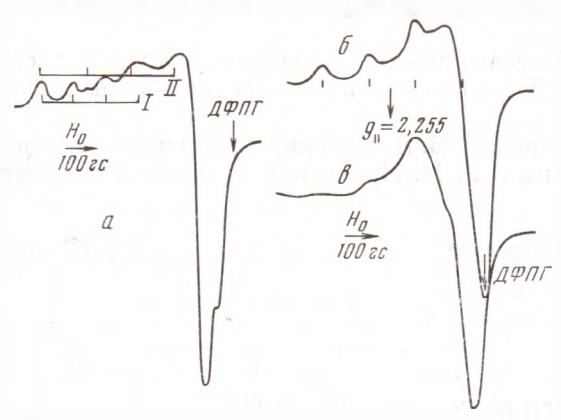


Рис. 1. Спектры э.п.р. ионов  $Cu^{2+}$  в Y-цеолите, содержащем 1,5% меди: a — образец, эвакуированный при  $100^{\circ}$  С,  $\delta$  — после адсорбции аммиака на образце a — при 25 и  $100^{\circ}$  С (измерения э.п.р. при  $77^{\circ}$  К),  $\epsilon$  — то же, что и  $\delta$ , но измерения э.п.р. при  $300^{\circ}$  К

предварительно откачивались при 100 и 400° С в течение 10—12 час. до остаточного давления  $10^{-5}$  тор. Спектры э.п.р. снимались на спектрометре JES-3BQ при 77 и 300° К. Значения g-факторов определялись сравнением с эталоном ДФПГ.

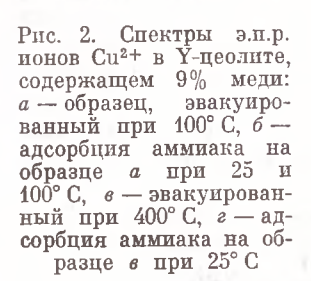
После эвакуирования образдов с малым содержанием меди (<1,5%) наблюдались спектры э.п.р. ( $^3$ ,  $^4$ ) (рис. 1, a), соответствующие гидратированному ( $g_{\parallel}=2,382,\ g_{\perp}=2,077,\ A=137\cdot 10^{-4}\ {\rm cm^{-1}},\ B \le 16\cdot 10^{-4}\ {\rm cm}$ ) и дегидратированному ( $g_{\parallel}=2,328,\ g_{\perp}=2,06,\ A=171\cdot 10^{-4}\ {\rm cm^{-1}},\ B=26\cdot 10^{-4}\ {\rm cm^{-1}}$ ) состояниям иона  ${\rm Cu^{2+}}-$  ноны I и II типа ( $^4$ ,  $^2$ ). Для образдов с большим содержанием меди (>1,5%) после дегидратации, кроме изолированных ионов I и II типа, наблюдаются (рис. 2, a) спектры э.п.р. ионов в магнитных ассоциатах (рис. 2, a), которые также были найдены для меди в X- и A-цеолитах ( $^5$ ), а позднее ( $^6$ ) и в цеолитах типа Y.

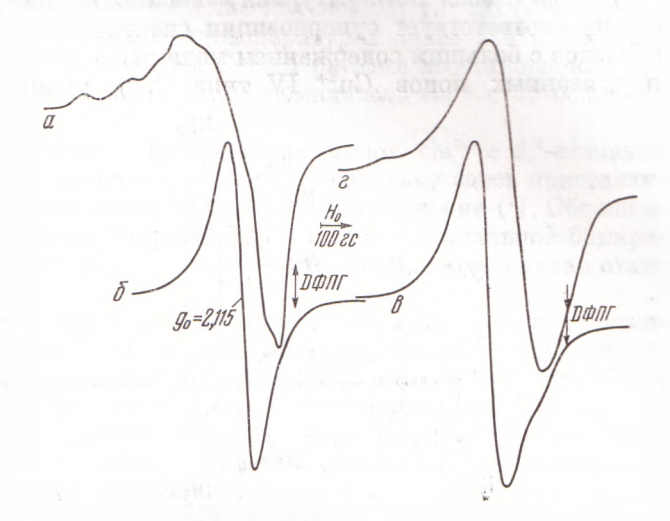
После семикратной обработки Си-цеолитов раствором  $NH_4Cl$  (для проведения обратного ионного обмена) в образцах остается  $0.2 \div 0.4\%$  меди. Сигналы э.п.р. этой меди по интенсивности соответствуют указанным количествам, а по характеру — изолированным понам I типа, что свидетельствует о полноте связывания меди в цеолитах в ионном виде.

После адсорбции аммиака можно выделить четыре типа сигналов (рис. 1—3). Первый с  $g_{\parallel}=2,255,\,g_{\perp}=2,040$  и A=176 гс ( $I_{\rm A}$ ), близкий по параметрам к аммиачному комплексу в Y-цеолитах ( $^{7}$ ), второй с параметрами  $g_{\parallel}=2,23,\,g_{\perp}=2,043,\,A=185$  гс ( $II_{\rm A}$ ), третий с  $g_{\parallel}=2,27,\,g_{\perp}=2,05,$ 

 $A=170~{
m rc}$  (III<sub>A</sub>). Для четвертого (IV<sub>A</sub>) параметры э.п.р. ( $g_{\parallel}=2{,}00$ ),  $g_{\perp}=2{,}20$ ,  $A=133~{
m rc}$  и  $B\simeq 40~{
m rc}$ ) существенно отличаются от параметров тетрагональных комплексов меди.

После дегидратации при 100° С адсорбция аммиака при 25° и равновесном давлении 450 тор на образцах с малым содержанием меди (≤1,5%)





приводит к появлению в спектрах э.п.р. при 77° К сигналов  $I_A$  (рис. 1, 6), полученных также в работе (7). Повышение температуры измерений приводит к плавному возрастанию  $g_{\perp}$ , смазыванию с.т.с. вблизи  $g_{\parallel}$ . Для компонент с.т.с. вблизи  $g_{\parallel}$  при этом проявляется зависимость  $\Delta H$  от  $m_{\rm I}$  и наблюдается

Cu<sup>2</sup>-H

Ho

100 ec

100 ec

Рис. 3. Спектр э.п.р. ионов Cu<sup>2+</sup> в Y-цеолите (9% меди) после выдержки в присутствии аммиака при 200° С. Отмечен обращенный спектр

симметричная фоновая линия с  $g_0 = 2,11$ , и ее появление более заметно при  $300^{\circ}$  K (рис.  $1, \theta$ ).

Адсорбция аммиака на образцах с большим содержанием меди ( $\simeq 5\%$ ) сопровождается появлением симметричной  $\Delta H = 144$  гс и  $g_0 = 2.11$ при 300° K, ширина которой возрастает с понижением температуры измерений, и спектр принимает асимметричный вид при 77° К. С дальнейшим ростом содержания меди ширина синглетного сигнала уменьшается, и для 9% меди при  $300^{\circ}$  С  $\Delta H = 90$  гс, а при  $77^{\circ}$  K  $\Delta H = 110$  гс (рис. 2,6). Если после адсорбции аммиака при 25° С образцы эвакуировались до давления  $1 \cdot 10^{-3}$ , происхо-

дило увеличение ширины линии симметричного сигнала с  $g_0=2,11$  для образцов с большой концентрацией меди ( $\Delta H=160$  гс для  $9\,\%$ ), на фоне которого проявляются уширенные спектры э.п.р. ионов  $\mathrm{Cu}^{2+}$  с  $g_{\parallel}\approx 2,25$  ( $\mathrm{II}_{\mathrm{A}}$ ). Для малых концентраций меди сильных температурных изменений в спектрах э.п.р. не наблюдается. Для образцов с большой концентрацией

меди, эвакуировавшихся при  $100^\circ$  после адсорбции аммиака (25° C), в основном наблюдается спектр э.п.р. с  $g_{\parallel}=2{,}00$  и  $g_{\perp}=2{,}20$  (7). Для малых концентраций спектр обусловлен, как правило, ионами Cu²+ II<sub>A</sub> и III<sub>A</sub>.

После дегидратации при 400° С адсорбция аммиака при 25° и давлении 450 тор на образцах с малым содержанием меди приводит к тому, что наблюдается слабая температурная зависимость спектров э.п.р. и в основном спектр соответствует суперпозиции спектров ионов типов II<sub>A</sub>, III<sub>A</sub>. Для образцов с большим содержанием меди ранее наблюдавшиеся линии обменно-связанных ионов Cu<sup>2+</sup> IV типа (1, 2) уширяются после адсорбции

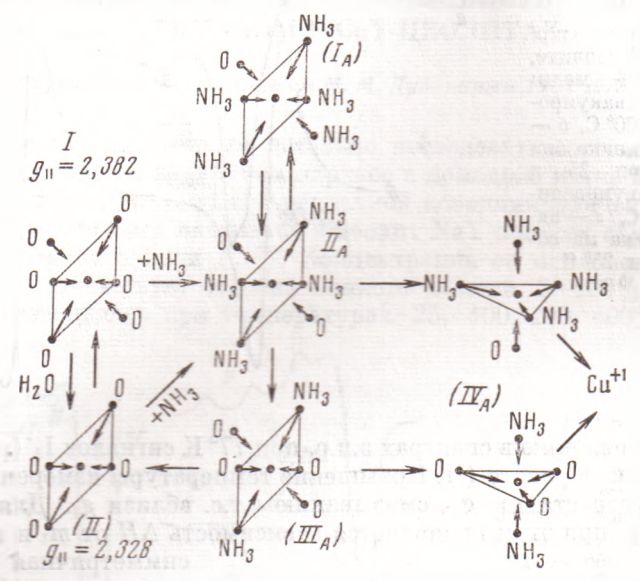


Рис. 4. Схема изменений состояния иона Cu<sup>2+</sup> (симметрия и характер окружения) при взаимодействии с аммиаком при разных температурах

(рис.  $2, \varepsilon$ ) и на фоне уширенной симметричной линии наблюдаются ионы с g = 2.25 - 2.26. Эвакуирование этих образцов при 25 или 100° С до давле-

ния  $10^{-3}$  тор существенно не меняет спектров э.п.р.

Взаимодействие аммиака при высоких температурах (более 150° C) приводит к значительному (в десятки раз) уменьшению интенсивности спектров э.п.р., особенно для больших содержаний меди (>1,5%). Нагревание образцов при 200° после адсорбции аммиака при 25° приводит к появлению спектров IV<sub>A</sub> (рис. 3).

Спектры э.п.р. аммиакатов меди хорошо изучены ( $^8$ ). Известно ( $^9$ ), что устойчивость  $Cu(NH_3)_n^{2+}$  в воде резко падает с ростом n до 4. С учетом данных работ ( $^8$ ,  $^9$ ) можно предложить следующую схему превращений комплекса меди (рис. 4), где спектр  $I_A$  приписан  $Cu(NH_3)_5^{2+}$ . Стабилизация  $Cu(NH_3)_6$  менее вероятна, поскольку последний мало устойчив ( $^9$ ).

Появление симметричного сигнала для образцов с большим содержанием меди можно объяснить увеличением спинового обмена за счет делокализации спиновой плотности в водно-аммиачной среде. Значение  $g_0 = 2,11$  указывает, что координация близка координации меди в образцах при малых ее концентрациях. Удаление аммиака, сопровождаемое ростом интенсивности ионов  $II_A$  при малых концентрациях меди и уменьшением обменных взаимодействий для больших концентраций, смещает равновесие  $Cu(NH_3)_{n-1}^{2+} = Cu(NH_3)_n^{2+}$  влево при  $n \le 4$ . Повышение температуры эвакуирования аммиака до  $100^{\circ}$  С приводит к появлению  $Cu(NH_3)_2^{2+}$  ( $III_A$ ), которые с последующим ростом температуры дают обращенный сигнал ( $IV_A$ ) или переходят в ионы II типа. Появление ионов  $IV_A$  связано с даль-

нейшими перестройками в координационной сфере иона  $\mathrm{Cu}^{2+}$  с образованием комплекса с  $d_z^2$ -основной орбитой, за счет образования прочной связи с аммиаком. Появление спектров ионов  $\mathrm{II}_\mathrm{A}$  и  $\mathrm{III}_\mathrm{A}$  для образцов, дегидратированных при  $400^\circ$  С с последующей адсорбцией аммиака при  $25^\circ$  определяется более сильным связыванием дегидратированных ионов  $\mathrm{Cu}^{2+}$  с решеткой цеолита (²). Наблюдающееся падение интенсивности сигналов после нагревания образцов с аммиаком при температурах более  $150^\circ$  С связано, по-видимому, с восстановлением ионов  $\mathrm{Cu}^{2+}$ . При этом восстановление, вероятно, осуществляется через образование комплексов  $\mathrm{Cu}^{2+}$  с  $d_z^2$ -основной орбитой.

Наиболее вероятным местом локализации ионов  $Cu^{2+}$  с  $d_z^2$ -основной орбитой в каркасе цеолита является место  $S_{II}$ , поскольку здесь кристаллическое поле иона  $Cu^{2+}$  должно иметь тригональное искажение (4). Обращенный спектр \* возможен также для ионов  $Cu^{2+}$  в поле тригональной бипирамиды, подобно данным работы (10), но значение  $A_{II}$  в нашем случае отли-

чается от найденного (10).

Таким образом, если обнаруженные ранее (1, 2) при гидратации — дегидратации переходы связаны с аксиальными возмущениями в координационной сфере меди в цеолитах, то изменение ее параметров при адсорбции аммиака соответствует смене лигандов и осей симметрии. При этом состояние меди теперь уже определяется в основном характером ее взаимодействия с аммиаком, который, за счет большей основности по сравнению с  $H_2OOH^-$  и ионов кислорода решетки, входит в экваториальную плоскость комплекса (рис. 4), а кислород цеолитного каркаса создает лишь аксиальное возмущение. В такой структуре орбита неспаренного электрона меди должна быть направлена на неподеленные пары электронов аммиака.

Институт катализа Сибирского отделения Академии наук СССР Новосибирск Поступило 7 II 1973

## ЦИТИРОВАННАЯ ЛИТЕРАТУРА

<sup>1</sup> Г. К. Боресков, Н. Н. Бобровидр., ДАН. 201, 887 (1971). <sup>2</sup> Н. Г. Максимов, В. Ф. Ануфриенко и др., ЖСХ. 13, 1020 (1972). <sup>3</sup> U. Kruerke, Р. Jung, Zs. Phys. Chem. Frankfurt, 58, 53 (1968). <sup>4</sup> И. Д. Михейкин, Автореф. кандидатской диссертации, 1971. <sup>5</sup> В. А. Сильченко. Н. Н. Пафомов и др., В сборн. Строение молекул и квантовая химия, Киев. 1970. <sup>6</sup> J. Turkevich, J. Catalysis, 25, 44 (1972). <sup>7</sup> C. Nacchache, Y. B. Taarit, Chem. Phys. Let., 11, 11 (1971). <sup>8</sup> В. J. Hathaway, А. А. Tomlinson, Coord. Chem. Rev., 5, 1 (1970). <sup>9</sup> J. В jerum, Metall Ammine Formation in Aqueous Solution, Haase, Copengagen, 1957. <sup>10</sup> Г. А. Сенькова, И. Д. Михейкин, К. И. Замараев, ЖСХ, 11, 23 (1970). <sup>11</sup> Р. Gallezot, Y. В. Таагit, В. Імеlik, С. R., 272, 261 (1971). <sup>12</sup> А. А. Шкляев, В. Ф. Ануфриенко и др., ДАН, 207, 135 (1972).

6 ДАН, т. 212, № 1

<sup>\*</sup> В связи со сказанным, результаты рентгеноструктурного изучения мест ло-кализации ионов  $Cu^{2+}$  в Cu-Y-цеолитах ( $^{11}$ ) нам представляются ошибочными, поскольку найденные расстояния Cu-N 3,02 A в случае аммиачного комплекса и 2,2 A для пиридината, согласно с данными ( $^{12}$ ), не соответствуют образованию какой-либо связи  $Cu^{2+}-N$ . Вероятно, авторы ( $^{11}$ ) имели дело с ионами  $Cu^{+}$  в Cu-Y-цеолите, образующимися в результате восстановления ионов  $Cu^{2+}$ .